

## تهیه و بررسی ویژگی‌های ساختاری و فوتوالکتروشیمیایی چندسازه‌های تیتانیم دی‌اکسید/روی اکسید

مهناز سیاه‌سه‌لان<sup>۱</sup>، ساجده محمدی عارف<sup>۲\*</sup>، حمید نقش‌آرا<sup>۲</sup> و رسول آزمایش‌کندرود<sup>۱</sup>

۱. دانشجوی دکترا دانشکده فیزیک، دانشگاه تبریز، تبریز، ایران.

۲. دانشیار دانشکده فیزیک، دانشگاه تبریز، تبریز، ایران.

دریافت: فروردین ۱۴۰۴ بازنگری: خرداد ۱۴۰۴ پذیرش: خرداد ۱۴۰۴



<https://doi.org/10.30495/JACR1.1404.1204462>

### چکیده

چهار نمونه نانوچندسازه‌ای تیتانیم دی‌اکسید/روی اکسید با درصد حجمی تقریبی ۰، ۳، ۵ و ۷ از روی اکسید، با روش سل-ژل سنتز شدند. سنتر موفق نمونه‌ها با الگوی پراش پرتو ایکس (XRD)، تأیید و ریخت‌شناسی سطح لایه‌ها با میکروسکوپ الکترونی روبشی (SEM) انجام شد. برای بررسی ویژگی نوری لایه‌ها، طیف‌نورستنجی UV-Vis و فوتولومینسانس و برای بررسی رفتار (I-V) نمونه‌ها، گالوانوستات/پتانسیوستات سه الکترودی به کارگرفته شدند. نتیجه‌های به دست آمده حاکی از آن بود که افزودن روی اکسید به تیتانیم دی‌اکسید، انرژی کاف نواری آن را به طور چشمگیری کاهش می‌دهد و بهبود قابل توجهی در کارایی فوتوالکتروشیمیایی چندسازه‌ها ایجاد می‌کند. نمونه حاوی ۵ درصد حجمی از روی اکسید، باریک‌ترین انرژی کاف نوار (۳/۲۸ الکترون ولت)، کمترین شدت طیف فوتولومینسانس و پایین‌ترین مقدار مقاومت انتقال بار (۸۰ کیلو اهم) را از خود نشان داد. همچنین، چگالی جریان پایدار این نمونه بیشترین مقدار را داشت (۱/۱ میلی آمپر بر سانتی‌مترمربع). کارایی برتر فوتوالکتروشیمیایی این نمونه در مقایسه با دیگر نمونه‌ها، گواهی بر کارایی بالای آن است.

**واژه‌های کلیدی:** آب‌شکافی، ویژگی فوتوالکتروشیمیایی، هیدروژن خورشیدی، تیتانیم دی‌اکسید/روی اکسید

افزایش تقاضا برای انرژی و هزینه‌های آن، نیاز حیاتی به بهره‌برداری از انرژی خورشیدی را نشان داده است [۱]. از این رو پژوهش‌های وسیعی در زمینه «مواد جدید حساس به نور» در حال انجام است تا زیرساخت‌های لازم برای بهره‌برداری از انرژی خورشیدی برای تأمین انرژی مورد نیاز انسان امروزی

### مقدمه

در دهه‌های اخیر، ساخت نیم‌راناهای بهدلیل ویژگی‌های نوری و الکتریکی بی‌همتا و همچنین، قابلیت آن‌ها برای حل چالش‌های زیست‌محیطی توجه زیادی را به خود جلب کرده است. به موازات این موضوع، صنعتی‌شدن سریع، رشد جمعیت و

و کروم را با روش سل ژل سنتز کردند و فعالیت فتوکاتالیست‌های آلاییده  $\text{TiO}_2$  را برای تکامل هیدروژن تحت تابش نور مرئی آزمایش کردند. نتیجه‌ها نشان داد که مواد آلاییده فعالیت بالاتری نسبت به  $\text{TiO}_2$  بدون آلایش دارند. این نتیجه به نقش کروم و آهن به عنوان عامل‌های به دام انداختن الکترون، نسبت داده می‌شود [۵]. در یک گزارش دیگر، <sup>۲</sup><sup>۳</sup> و همکارانش، کره‌های توخالی  $\text{TiO}_2$  با آلایش پلاتین را با روش سل-ژل برای استفاده در فرایند تولید هیدروژن تهیه کردند [۶]. مقدار بهینه پلاتین یک درصد وزنی بود که بیشترین فعالیت تولید هیدروژن را نشان داد. این گزارش، فعالیت بالاتر را به جداسازی بار مؤثری که با نانوذره‌های پلاتین رسوب داده شده در سطح ایجاد می‌شود، نسبت می‌دهد. در پژوهش دیگری <sup>۴</sup><sup>۵</sup> و همکارانش، از روش‌های ترکیبی سل-ژل و آب-آبرگرمایی برای سنتز تیتانیم دی‌اکسید آلاییده با بور و طلا استفاده کردند و تولید موفق هیدروژن فتوکاتالیستی را به خوبی نشان دادند. در میان فتوکاتالیست‌های آماده شده متفاوت،  $\text{Au}_{0.5}/\text{B}-\text{TiO}_2$  بالاترین فعالیت را نشان داد که این نتیجه به افزایش جذب نور و تأثیر اثر رزونانس پلاسمون طلا در افزایش جداسازی بار نسبت داده می‌شود. افزون‌براین، وجود طلا و بور می‌تواند جداسازی و انتقال بار را آسان سازد [۷]. از سوی دیگر، امروزه روی اکسید (ZnO) به عنوان یک کاندیدای امیدوار کننده در بحث بالا پدیدار شده است و کارایی فتوکاتالیستی قابل مقایسه‌ای با تیتانیم دی‌اکسید از خود نشان می‌دهد. ساختار ناهمسانگرد تیتانیم دی‌اکسید/روی اکسید می‌تواند ویژگی‌های مطلوب هر دو اکسید را ترکیب کند و آن را به یک جزء ارزشمند در دستگاه‌های فتوالکتریک و فتوکاتالیستی تبدیل کند. در این پژوهش، لایه‌های نازک تیتانیم دی‌اکسید/روی اکسید با درصدهای حجمی متفاوت روی اکسید با روش پوشش‌دهی چرخشی تهیه و تأثیر درصد حجمی روی اکسید بر پاسخ نوری این لایه‌ها با اندازه‌گیری‌های فتوالکتروشیمیایی

فرامه شود. در این راستا، واکنش‌های فتوالکتروشیمیایی<sup>۱</sup> (PEC) می‌توانند با بهره‌گیری از انرژی خورشیدی، فرایند آب‌شکافی را انجام دهند و هیدروژن و اکسیژن پاک تولید کنند [۲]. این روش نه تنها به تولید هیدروژن به عنوان یک سوخت پاک کمک می‌کند، بلکه می‌تواند به کاهش آلودگی و تغییرهای اقليمی نیز منجر شود. با توجه به قابلیت بالای انرژی خورشیدی، استفاده از مواد نیم‌رسانا با ویژگی‌های مناسب برای جذب نور و انجام واکنش‌های فتوالکتروشیمیایی به عنوان یک راهکار مؤثر در تولید هیدروژن، در حال بررسی و توسعه است. برای نیل به این هدف، تیتانیم دی‌اکسید که به عنوان یک نیم‌رسانا اکسیدی با نوار انرژی وسیع شناخته می‌شود، در دو دهه گذشته به طور گسترده‌ای به عنوان الکترودهای الکتروشیمیایی و همچنین، فتوکاتالیست کارآمد مطالعه و بررسی شده است [۳] و [۴]. در این راستا، تلاش‌های زیادی برای بهبود فعالیت فتوکاتالیستی آن با روش‌های متفاوت اصلاح، انجام یافته است. با این حال، یکی از محدودیت‌های این ماده، فعالیت فتوکاتالیستی محدود آن برای کاربردهای تجاری گسترشده است. در دستگاه‌های فتوکاتالیستی، با ترکیب حامل‌های بار یک فرایند مهم است که مانع از کارایی تبدیل انرژی می‌شود. یکی از رویکردها برای کاهش باز ترکیب الکترون-حرفه‌های نوری، ایجاد ترکیب تیتانیم دی‌اکسید/اکسید فلزی است که یک ساختار p-n تشکیل می‌دهد. تشکیل ساختار p-n یک مانع انرژی در میز تیتانیم دی‌اکسید/اکسید فلزی ایجاد می‌کند و جداسازی مؤثر الکترون-حرفه را آسان می‌کند. این جداسازی، طول عمر الکترون‌ها را افزایش می‌دهد، ترکیب مجدد الکترون-حرفه را مهار می‌کند و در نهایت، کارایی سامانه را افزایش می‌دهد. اهمیت این بحث پژوهشگران زیادی را به مطالعه ساختارهای تیتانیم دی‌اکسید/اکسید فلزی، با استفاده از اکسیدهای فلزی متفاوت واداشته است. برای مثال، دولام<sup>۲</sup> و همکارانش با موقیت فیلم نازک  $\text{TiO}_2$  آلاییده با آهن

<sup>۱</sup>. Photoelectrochemical (PEC)

<sup>2</sup>. Dholam

<sup>3</sup>. Zhu

<sup>4</sup>. Wang

محلول افروده شد به طوری که نسبت مولی مونواتanol آمین به روی استات دی‌هیدرات یک به یک باشد. محلول به دست آمده به مدت ۲ ساعت در دمای ۵۰ درجه سلسیوس هم‌زده شد تا محلولی همگن و شفاف به دست آید. در پایان، محلول به مدت ۲۴ ساعت در دمای اتاق برای استراحت و پیرسازی قرار گرفت تا محلول شماره ۱ به دست آید [۸]. نانوذرهای تیتانیم دی‌اکسید نیز با روش سل-ژل سنتز شدند. در مرحله اول، محلول سل با مخلوط کردن  $\frac{2}{3}$  میلی‌لیتر تیتانیم آن بوتاکسید با ۲۳ میلی‌لیتر اتانول تهیه شد. این محلول به مدت ۳۰ دقیقه به طور کامل هم‌زده شد. سپس، ۸ قطره نیتریک اسید به عنوان کاتالیست به آن افزوده شد. محلول به دست آمده ۲ ساعت هم‌زده شد و به مدت ۲۴ ساعت در دمای اتاق برای استراحت و پیرسازی قرار گرفت تا محلول شماره ۲ به دست آید [۹]. برای بررسی رفتار فوتوالکتروشیمیایی نمونه‌های تیتانیم دی‌اکسید/روی اکسید، چهار نمونه با حجم ۰.۰۰۵، ۰.۰۱۰، ۰.۰۱۵ میلی‌لیتر از محلول شماره ۱ هر کدام با ۰.۰۵ میلی‌لیتر از محلول شماره ۲ مخلوط شد. اطلاعات مربوط به چهار نمونه و نام‌گذاری آن‌ها در جدول ۱ آمده است.

بررسی شد. انتخاب بهینه نیم‌رسانا و ترکیب مناسب مواد سنتز شده، نقش مهمی در بهبود کارایی سلول‌ها دارد. از این‌رو، ویژگی فوتوكاتالیستی تیتانیم دی‌اکسید/روی اکسید بررسی و نسبت بهینه ترکیب این دو ماده و تأثیر آن بر بازده تولید هیدروژن و کاهش نرخ بازترکیب حامل‌ها مطالعه شد.

### بخش تجربی

#### مواد و روش‌ها

همه مواد از جمله ایزوپروپانول ( $(CH_3)_2CHOH$ )، Zn(CH<sub>3</sub>COO)<sub>2</sub> 2H<sub>2</sub>O، (H<sub>2</sub>N(CH<sub>2</sub>CH<sub>2</sub>OH)، ۹۹.۵٪)، مونو اتانول آمین (C<sub>16</sub>H<sub>36</sub>O<sub>4</sub>Ti، ۹۸٪)، تیتانیم آن بوتاکسید (MEA)، اتانول (HNO<sub>3</sub>، ۶۵٪) و نیتریک اسید (C<sub>2</sub>H<sub>6</sub>O، ۹۹.۵٪) از شرکت مرک تهیه شدند.

#### سنتز نمونه‌ها

برای سنتز نانوذرهای روی اکسید با روش سل-ژل، ابتدا یک محلول ۰.۵ مول در لیتر از روی استات دی‌هیدرات در ایزوپروپانول تهیه شد. سپس مونو اتانول آمین به تدریج به

جدول ۱ مقدارهای حجمی استفاده شده برای تهیه نمونه‌های نانوچندسازهای تیتانیم دی‌اکسید/روی اکسید

ردیف	نمونه‌ها	درصد تقریبی روی اکسید	درصد تقریبی دی‌اکسید	تیتانیم دی‌اکسید (میلی‌لیتر)	حجم محلول شماره ۱ (میلی‌لیتر)	حجم محلول شماره ۲ (میلی‌لیتر)
۱	T-0% ZnO	۰	۱۰۰	۰	۰	۰.۲
۲	T-3% ZnO	۳	۹۷	۰.۰۰۵	۰	۰.۲
۳	T-5% ZnO	۵	۹۵	۰.۰۱۰	۰	۰.۲
۴	T-7% ZnO	۷	۹۳	۰.۰۱۵	۰	۰.۲

محلول‌ها بر زیر لایه شیشه‌ای و نیز زیر لایه ITO با روش پوشش‌دهی چرخشی لایه نشانی شدند. سرعت چرخش دستگاه ۱۵۰۰ دور در دقیقه و زمان چرخش ۲۰ ثانیه بود. لایه‌های

ذکر این نکته لازم است که نام‌گذاری نمونه‌ها برپایه مقدار تقریبی درصد حجمی روی اکسید انجام شده است. چهار محلول به دست آمده، هر کدام به مدت ۲۰ ثانیه هم‌زده شد. این

## نتیجه‌ها و بحث

برای بررسی ویژگی نوری فیلم‌های نانوچندسازه  $\text{TiO}_2/\text{ZnO}$  از نمونه‌های لایه‌نشانی شده بر زیرلایه شیشه‌ای استفاده شد. دقت به این نکته ضروری است که در فرایند تولید مورداستفاده در این کار، تعامل میان دو ماده با ویژگی‌های بی‌همتا فراهم می‌آید. این ویژگی‌ها به ساختار نسبی انرژی الکترونی این دو ماده مربوط می‌شوند. همان‌طور که در ادامه بحث خواهد شد، وقتی چندسازه تیتانیم دی‌اکسید/روی اکسید ساخته می‌شود، ترازهای انرژی دو ماده در محل پیوند آن‌ها دچار خمیدگی شده و یک انحراف نوار نوع II در محل پیوند ایجاد می‌شود. این فرایند، انتقال حامل‌های بار تولیدشده در اثر تابش نور را آسان می‌سازد. یعنی، الکترون‌ها به روی اکسید و خفره‌ها به تیتانیم دی‌اکسید سرازیر می‌شوند و در تیجه حامل‌های بار از هم جدا می‌شود و احتمال بازترکیب آن‌ها کاهش می‌یابد. در نهایت، بازده سامانه به‌طور بسیار موثری افزایش می‌یابد. بدین ترتیب، با تنظیم دقیق نسبت‌های متفاوت سل روی اکسید، می‌توان به ساختارهایی دست یافت که ویژگی بهینه‌ای را به نمایش می‌گذارند. همچنین، این چندسازه‌ها قابلیت‌های مناسب‌تری را برای کاربردهای فوتوالکتروشیمیایی و نانوفاوری ارائه می‌دهند. برای بررسی تأثیر افزودن روی اکسید بر ویژگی نیم‌رسانای تیتانیم دی‌اکسید، طیف فرابنفش-مرئی نمونه‌ها ثبت شد. در شکل ۱-الف، این طیف‌ها قابل مشاهده است. همه نمونه‌ها جذب نوری را در حدود ۳۰۰ نانومتر نشان می‌دهند. این پدیده، به انتقال الکترون بین پیوندهای  $\text{Ti}-\text{O}$  در نانوبلور تیتانیم دی‌اکسید نسبت داده می‌شود. نتیجه‌های به‌دست‌آمده نشان می‌دهد که افزودن مقدار مشخصی از روی اکسید به تیتانیم دی‌اکسید تأثیر چشمگیری بر ویژگی‌های نوری آن دارد به‌گونه‌ای که شدت قله جذب افزایش می‌یابد و این روند تا زمانی که درصد حجمی روی اکسید به ۵ برسد، ادامه دارد. در این نقطه، شدت جذب به بیشینه خود می‌رسد،

نازک نهایی با دوبار پوشش‌دهی تمهیه شدند که پس از هر پوشش، فیلم‌ها در دمای ۲۰۰ درجه سلسیوس به مدت ۱۰ دقیقه گرمادهی شدند. انتخاب ویژگی‌های لایه‌نشانی مانند سرعت چرخش دستگاه، زمان لایه‌نشانی و تعداد دفعه‌های لایه‌نشانی پس از تکرار آزمایش‌ها و بررسی کیفیت لایه‌ها انجام شد. در انتهای، لایه‌های نازک به مدت ۶۰ دقیقه در دمای ۴۵۰ درجه سلسیوس بازپخت شدند.

## شناسایی نمونه‌ها

برای بررسی ویژگی نوری لایه‌ها، دو دستگاه طیف‌نورسنج (Double beam Shimadzu UV-2450, Japan) UV-Vis و فوتولومینسانس (JASCO, FP-6200, America) به کار گرفته شدند. طیف‌سنجدی رهبندي الکتروشیمیایی (EIS)<sup>1</sup> در بازه فرکانسی 44-105 هرتز تحت تابش نور انجام شد. تجزیه و تحلیل طیف‌سنجدی رهبندي الکتروشیمیایی با یک سلف-ظرفیت- مقاومت‌سنج LCR meter KC-605، ساخت D500 از این انجام گرفت. برای تعیین شکل‌گیری فاز و ساختار لایه‌ها، الگوهای پراش پرتو ایکس (XRD) لایه‌ها (با دستگاه Siemens با منبع تابش  $\text{CuK}\alpha$  ( $\lambda = 1.54 \text{ \AA}$ ) به کار گرفته شد. همچنین، ریخت‌شناسی سطح لایه‌ها با میکروسکوپ (Tescan, MIRA3, FEG-SEM, Czech) الکترونی روبشی انجام شد. در ادامه، برای بررسی ویژگی فوتوالکتروشیمیایی نمونه‌های آماده شده، یک سیم مسی با چسب نقره به زیر لایه ITO متصل شد. زیرلایه‌ها به‌طور کامل عایق‌کاری شدند تا از تماس زیرلایه با الکتروولیت جلوگیری شود. سپس، با تابش نور به‌وسیله شبیه‌ساز نورخورشید که برپایه استاندارد 1.5 AM تنظیم شده بود، رفتار (جریان-زمان) نمونه‌ها بررسی شد. در نهایت، گالوانوستات پتانسیوستات سه الکتروودی (AUTOLAB) برای بررسی رفتار (I-V) Eco Chemie / PGSTAT100 نمونه‌ها به کار گرفته شد.

<sup>1</sup>. Electrochemical impedance spectroscopy (EIS)

<sup>2</sup>. Staggered

تیتانیم دی اکسید برابر با  $3/36$  الکترون ولت است. این کاف انرژی که در مقایسه با حالت حجمی بزرگتر است، ناشی از اثر محدودشده‌گی کوانتوسی است. در محدودشده‌گی کوانتوسی، ذراتی مانند الکترون‌ها در یک منطقه محدود از فضا حبس می‌شوند و این محدودیت موجب تغییر در ویژگی الکتریکی، نوری و گرمایی مواد می‌شود. برای مثال، در نانوذره‌ها، کاف انرژی و ویژگی‌های نوری می‌توانند به شدت تحت تأثیر ابعاد نانوذره قرار گیرند، که این امر به توسعه فناوری‌های جدید در حوزه‌های متفاوت مانند حسگرها و کاتالیست‌ها کمک می‌کند. کاف انرژی نوری نمونه‌ها در جدول ۲ آمده است.

جدول ۲ مقدارهای محاسبه شده کاف انرژی نمونه‌های چندسازه‌ای، مقاومت انتقال بار ( $R_{sc}$ ) و چگالی جریان پایدار آن‌ها

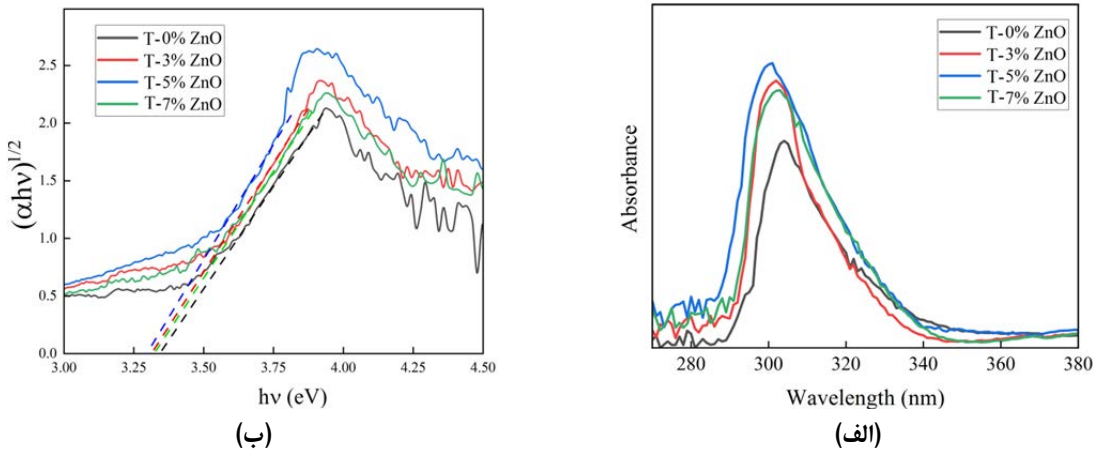
چگالی جریان	مقاطومت انتقال بار (میلی آمپر بر سانتی‌مترمربع)	کاف انرژی (الکترون ولت)	نمونه
	(کیلو اهم)		
۰,۸۰	۱۵۳	۳,۳۶	T-0%ZnO
۰,۹۰	۱۳۱	۳,۳۳	T-3%ZnO
۱,۱۰	۸۰	۳,۲۸	T-5%ZnO
۱,۰۵	۹۴	۳,۳۰	T-7%ZnO

یکی از اصلی‌ترین دلایل کاهش کاف انرژی در تیجه افزودن روی اکسید در تیتانیم دی اکسید، ایجاد سطوح جدید انرژی در نواحی انرژی ماده است. وقتی روی اکسید به ساختار تیتانیم دی اکسید افزوده می‌شود، یون‌های Zn به عنوان ناخالصی در شبکه تیتانیم دی اکسید وارد می‌شوند. این ناخالصی‌ها می‌توانند سطوح جدیدی از انرژی را در نواحی انرژی ایجاد کنند که به الکترون‌ها اجازه می‌دهد در انرژی‌های پایین‌تر بین نواحی انرژی حرکت کنند. این روند منجر به کاهش کاف انرژی بین نواحی ظرفیت و نواحی رسانش می‌شود. به عبارت دیگر، با کاهش کاف انرژی، انتقال الکترون‌ها به حالت‌های انرژی بالاتر آسان‌تر می‌شود، که این ویژگی می‌تواند ویژگی نوری و الکتریکی ماده را تحت تأثیر

ولی اگر محتوای روی اکسید بیشتر شود، شدت قله جذب کاهش می‌یابد. با افزایش شدت جذب در طیف فرابنفش-مرئی، تعداد بیشتری از الکترون‌ها به حالت‌های انرژی بالاتر برانگیخته می‌شوند. به طور کلی، افزودن روی اکسید به تیتانیم دی اکسید منجر به بهبود قابلیت‌های نوری می‌شود. این تغییرها به معنای تغییر در ساختار الکترونی و حالت‌های انرژی مواد است که تأثیر مثبتی بر کارایی‌های فوتوالکتروشیمیایی و نوری سامانه دارد. به عبارت دیگر، فعالیت نوری چندسازه‌ها افزایش و ویژگی فوتوالکتریکی آن‌ها بهبود می‌یابد. از دید میکروسکوپی، می‌توان گفت که ترکیب روی اکسید با ساختار تیتانیم دی اکسید در مقادیر کم و قرار گرفتن آن بین ذره‌ها، فرایند انتقال بار را در ساختار مرزی p-n افزایش می‌دهد. این روند به دلیل ایجاد مسیرهایی برای حامل‌های بار بین دانه‌های تیتانیم دی اکسید است. با توجه به طیف‌های جذب فرابنفش-مرئی و همچنین، استفاده از مدل تائوک<sup>۱</sup> می‌توان کاف انرژی نمونه‌ها را به صورت تقریبی به دست آورد. معادله تائوک یک روش پرکاربرد برای تخمین کاف انرژی نوری مواد برپایه طیف جذب فرابنفش-مرئی آن‌ها است. در این مدل، معادله  $ahv = C(hv - E_g)^n$  بین ضریب جذب و کاف انرژی نمونه نیم‌رسانا برقرار است که  $\alpha$  ضریب جذب،  $hv$  انرژی بر حسب الکترون ولت،  $E_g$  کاف انرژی نمونه و  $C$  عدد ثابت است. مقادیر  $n$  در این معادله برابر  $۰,۵$ ،  $۰,۲$ ،  $۰,۱/۵$  و  $۰,۳$  در نظر گرفته می‌شود که مقدار  $۰/۵$  برای گذار مجاز مستقیم و مقدار  $۰/۲$  برای گذار مجاز غیر مستقیم تعریف شده است. حال، با بردن یافی بخش خطی منحنی  $(ahv)^{1/n}$  به محور  $x$ ، مقدار کاف انرژی نمونه‌ها تخمین زده می‌شود. از آنجا که روی اکسید خالص یک نیم‌رسانا نوع  $n$  با کاف انرژی مستقیم است، در معادله تائوک مقدار  $n$  برابر  $۰/۵$  خواهد بود. در مقابل، تیتانیم دی اکسید آناتاز یک نیم‌رسانا نوع  $n$  با کاف انرژی غیرمستقیم است و بنابراین، مقدار  $n$  برای آن برابر  $۰/۳$  خواهد بود. بر این پایه کاف انرژی نوری به دست‌آمده برای

<sup>۱</sup>. Tauc

قرار دهد.



شکل ۱ طیف جذب نوری فرابنفش-مرئی (الف) و نمودار  $(\alpha h\nu)^{1/n}$  برای تخمین انرژی کاف نوار (ب) نمونه‌های چندسازه‌ای

حاملهای بار را افزایش می‌دهد و در نتیجه فعالیت فتوکاتالیستی نانومواد سنتز شده را افزایش می‌دهد. برای بررسی بیشتر انتقال حاملهای بار، تجزیه و تحلیل طیف‌سنجی رهبندي الکتروشیمیایی برای نمونه‌ها اعمال شد. رهبندي الکتروشیمیایی یک روش تحلیلی است که برای مطالعه رفتار الکتروشیمیایی سامانه‌ها به کارگرفته می‌شود. این روش، با اعمال یک نشانک تناوبی (به‌طور معمول در سامدهای متفاوت) به سامانه و اندازه‌گیری پاسخ آن، اطلاعاتی درباره ویژگی‌های الکتروشیمیایی مانند مقاومت و ظرفیت ارائه می‌دهد. با این روش، می‌توان ویژگی‌های نانوچندسازه‌ها را بررسی کرد. شکل ۲-ب نمودارهای EIS نمونه‌ها را نشان می‌دهد که مؤلفه موهومی رهبندي در محور عمودی و مؤلفه حقیقي رهبندي در محور افقی نشان داده شده است. همچنین، مدار معادل این ترکیب در قسمت داخلی شکل ارائه شده است. واضح است که  $R_s$  مقاومت اهمی سامانه و مربوط به زیرلایه است که برای همه نمونه‌ها یکسان است؛ زیرا زیرلایه ITO و سیم‌های اتصال یکسان هستند. مقاومت انتقال بار ( $R_{sc}$ )، با نیم‌دایره در شکل پدیدار شده و مقدار آن برای تیتانیم دی‌اکسید

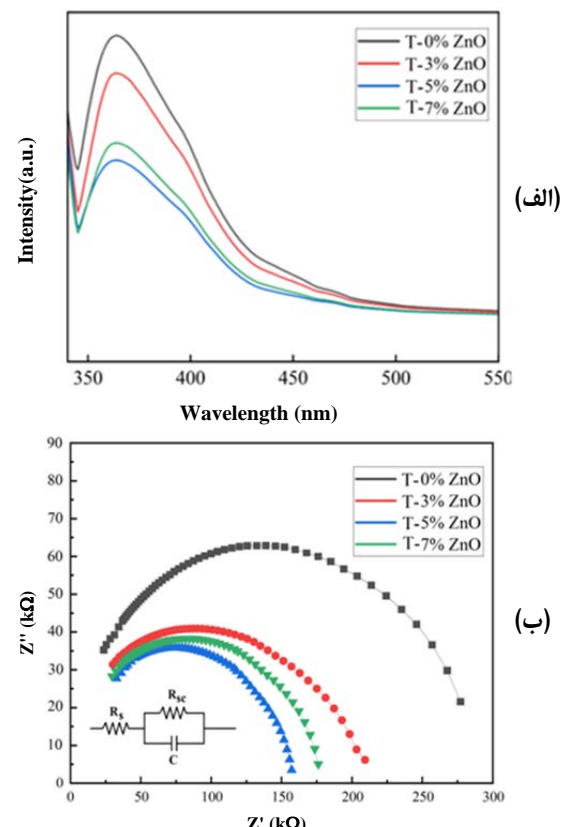
طیف‌سنجی فوتولومینسانس (PL)<sup>1</sup> روشی دیگر برای بررسی ویژگی نوری مواد است. در این روش، نمونه‌ها تحت تابش نور قرار می‌گیرند و سپس نور ساطع شده از آن‌ها تحلیل می‌شود. طیف فوتولومینسانس نمونه‌های مذکور در شکل ۲-الف نشان داده شده است. قله مشاهده شده، برای همه نمونه‌ها در طول موج حدود ۳۶۰ نانومتر پدیدار شده است. شدت انتشار طیف فوتولومینسانس با افزودن روی اکسید کمتر شده است. کاهش شدت طیف فوتولومینسانس می‌تواند به ایجاد نقص‌ها و سطوح انرژی جدید مرتبط باشد. افزودن روی اکسید می‌تواند به تشکیل نقص‌ها در ساختار بلوری منجر شود که می‌تواند به عنوان مراکز غیرطبیعی در جذب و انتشار نور عمل کند و در نتیجه شدت فوتولومینسانس را کاهش دهد. کمترین شدت طیف فوتولومینسانس مربوط به نمونه حاوی ۵ درصد اکسید روی است که این به بهبود نرخ جداسازی بار مربوط می‌شود، که بهنوبه خود موجب کاهش بازترکیب تابشی جفت الکترون-حفره‌ها می‌شود. بنابراین، جداسازی بار کارآمد، طول عمر

<sup>1</sup>. Photoluminescence spectroscopy (PL)

آن در شکل‌های ۳-الف و ب به تصویر کشیده شده است. نتیجه‌ها نشان می‌دهد که در همه نمونه‌ها، برهمکنش‌های کافی بین سطح دانه‌های تیتانیم دی‌اکسید و مولکول‌های آب برقرار است و این تعامل‌ها منجر به تولید جریان نوری قابل اندازه‌گیری می‌شوند. افزون‌براین، وابستگی چگالی جریان به درصد حجمی نانوذره‌های ZnO مشاهده می‌شود. برپایه نمودار، مقدارهای عددی چگالی جریان تیتانیم دی‌اکسید خالص و نمونه‌های ZnO T-3% ZnO و T-5% ZnO در T-7% ZnO در جدول ۲ آمده است. روشن است که افزودن روی اکسید به سامانه، موجب افزایش فوتوجریان الکترودها می‌شود. این افزایش را می‌توان با توجه به نتیجه‌های قبلی توجیه کرد. ازانجا که با افزودن روی اکسید، باز ترکیب جفت الکترون-حرفره کمتر می‌شود، مقدار فوتوجریان ایجاد شده بیشتر خواهد بود. به بیان دیگر، تحلیل‌های صورت‌گرفته در بخش طیفسنجی نوری، نشان می‌دهد که جذب نور منجر به تولید الکترون و حرفره نوری می‌شود و جداسازی باز به طور مؤثر بین دانه‌های تیتانیم دی‌اکسید و روی اکسید اتفاق می‌افتد. این فرایند به طور بالقوه می‌تواند طول عمر الکترون‌ها را افزایش دهد و در نتیجه فعالیت فوتوالکتروشیمیایی نانوچندسازه را بهبود بخشد. به طور مشخص، نانوچندسازه حاوی ۵ درصد روی اکسید، به دلیل افزایش تعداد حامل‌های باز تولید شده با نور و همچنین، کاهش احتمال باز ترکیب الکترون-حرفره، از راه حرکت بهینه الکترون-حرفره در مزهای ناهمگن، بیشینه مقدار چگالی جریان نوری را برآورده می‌کند. این نتیجه‌ها نشان‌دهنده قابلیت بالا و قابلیت‌های این نانوچندسازه‌ها در کاربردهای فوتوالکتروشیمیایی است.

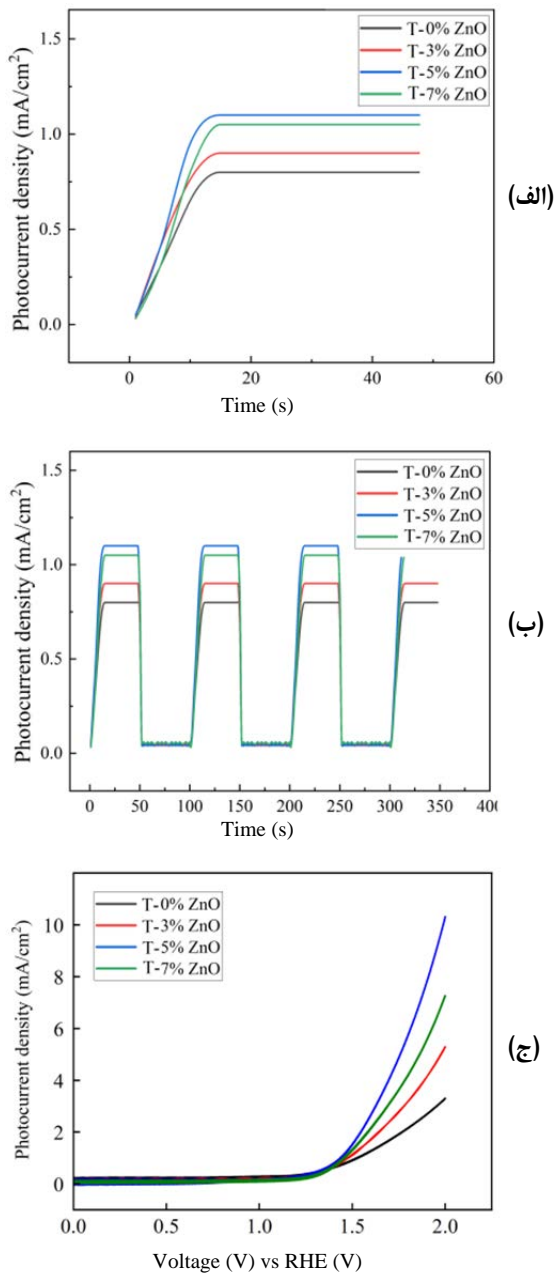
آزمون سه الکترودی (I-V) یک روش مهم دیگر برای ارزیابی کارایی فوتوالکتروشیمیایی (PEC) نانوچندسازه‌ها است. نتیجه‌های این آزمون در شکل ۳-ج قابل مشاهده است. در این آزمون، نانوچندسازه‌ها به عنوان الکترود کار، الکترود پلاتین به عنوان الکترود کمکی و الکترود کالومل سیر به عنوان الکترود

خالص و نمونه‌های T-3%G T-5%G و T-7%G در جدول ۲ آمده است. کمترین مقدار  $R_{sc}$  برای نمونه T-5%ZnO است که بهبود جداسازی حامل‌های باز تولید شده با نور در نمونه را تأیید می‌کند. بنابراین، فرایند انتقال بار آسان‌تر می‌شود و انتقال الکترون سریع‌تر اتفاق می‌افتد. روشن است که کاهش مقاومت انتقال بار منجر به کارایی بهتر سولول‌ها می‌شود. این نتیجه تاییدی بر تحلیل فوتولومینیسانس است که بازده فوتوكاتالیستی بالاتری را برای نمونه T-5% ZnO پیش‌بینی کرده بود.



شکل ۲ طیف فوتولومینیسانس (PL) (الف) و طیف رهندی الکتروشیمیایی (EIS) (ب) نمونه‌های چندسازه‌ای

برای ارزیابی کارایی فوتوالکتروشیمیایی (PEC) نمونه‌ها، نخست آزمایش پایداری جریان با زمان انجام شد که نتیجه‌های



شکل ۳ پایداری کوتاه مدت چگالی جریان الکتریکی (الف)، پایداری بلند مدت چگالی جریان الکتریکی (ب) و آزمایش سه الکترودی (I-V) (ج) نمونه‌های چندسازه‌ای

مرجع در یک محلول الکترولیت آبی با غلظت نیم مولار  $\text{H}_2\text{SO}_4$  قرار گرفتند. پتانسیل خارجی بین صفر تا ۲۰ ولت نسبت به الکترود کالومل سیر تعییر داده شد (پتانسیل خارجی بین الکترود کالومل سیر و الکترود کار اعمال شد) و جریان نوری از الکترود پلاتین اندازه‌گیری شد. نتیجه‌ها نشان می‌دهند که جریان نوری به طور چشمگیری در ولتاژ نزدیک به ۱/۵ ولت افزایش می‌یابد. این افزایش چشمگیر در جریان نوری، نشان‌دهنده تأثیر مثبت الکترودهای نانوچندسازه‌ای بر کارایی فتوالکتروشیمیایی در گستره بالای ولتاژ است. افزودن روی اکسید به تیتانیم دی‌اکسید منجر به افزایش جریان می‌شود که به بهبود ویژگی‌های نوری و الکتریکی مانند کاهش کاف اثری، کاهش شدت انتشار طیف فوتولومینسانس و کاهش مقاومت انتقال بار ( $R_{sc}$ )، نسبت داده می‌شود. همچنین، برای نمونه‌های چندسازه‌ای که حاوی روى اکسید هستند، کاهش چشمگیری در ولتاژ موردنیاز برای دستیابی به جریان نوری بالا مشاهده می‌شود. این روند بهروشی نشان‌دهنده نقش مثبت روی اکسید و تشکیل پیوند p-n در بهبود کارایی فتوالکتروشیمیایی الکترودهاست. به بیان دیگر، در محل پیوند تیتانیم دی‌اکسید با روی اکسید در نانوچندسازه، در اثر تفاوت ترازهای انرژی دو ماده، یک پیوند p-n به وجود می‌آید که حرکت حامل‌های بار را آسان و جداسازی آن‌ها را تسريع می‌کند. مشاهده می‌شود که نمونه حاوی ۵ درصد روی اکسید کمتر از سایر نمونه‌ها به پتانسیل برق کافت نیاز دارد و شرایط بهینه‌تری برای فرایند آب‌شکافی فراهم می‌آورد. ذکر این نکته لازم است که ولتاژ تجزیه آب (۱/۲۳ ولت (در مقابل RHE) در دمای ۲۵ درجه سلسیوس) است. این نتیجه‌ها نشان می‌دهد که افزودن  $\text{ZnO}$  به نانوچندسازه‌ها می‌تواند به عنوان یک راهبرد مؤثر برای بهبود ویژگی‌های الکتروشیمیایی و بهبود بازده در واکنش‌های فتوالکتروشیمیایی عمل کند.

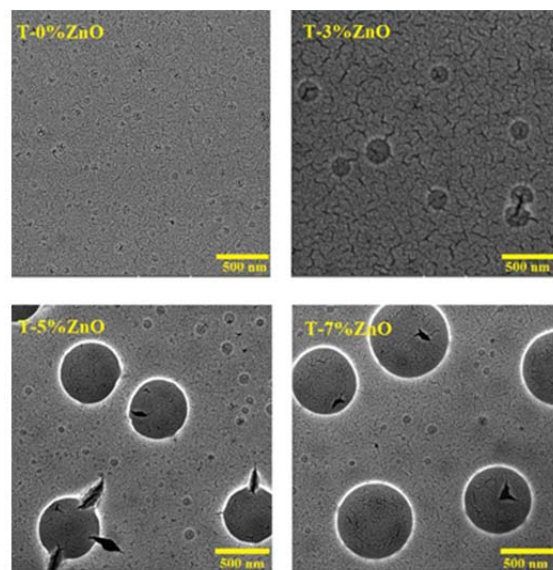
تشکیل کلوخه‌های بزرگ و کوچک در سطح نمونه‌ها می‌شود که به صورت یکنواخت در سراسر فیلم پراکنده شده‌اند. تشکیل کلوخه، در لایه نازک  $\text{TiO}_2/\text{ZnO}$  که با روش سل ژل سنتر شده، در مطالعه‌های پیشین نیز گزارش شده است [۱۱ و ۱۲].

برای بررسی ساختار بلوری نمونه‌ها و جهت‌گیری احتمالی بلورها، از روش پراش پرتو ایکس استفاده شد. با توجه به این که نمونه T-5%  $\text{ZnO}$  بهترین رفتار الکتروشیمیایی را از خود نشان داد، الگوهای پراش پرتو ایکس نمونه‌های تیتانیم T-5%  $\text{ZnO}$  بررسی و در شکل ۵ باهم مقایسه شده‌اند. الگوی پراش لایه نازک روی اکسید سنتزشده با الگوی ساختار هگزاگونال ورتیت روی اکسید همخوانی دارد [۸]. در الگوی پراش پرتو ایکس مربوط به تیتانیم دی‌اکسید، قوی‌ترین قله در زاویه  $2\theta$  برابر با  $25/3$  درجه مشاهده می‌شود. این قله به‌وضوح نشان‌دهنده فاز آناتاز تیتانیم دی‌اکسید است که به عنوان یکی از

حالاتی بلوری اصلی این ترکیب شناخته می‌شود. [۱۶].

به طور معمول این فاز با جهت‌گیری (۱۰۱) مشخص می‌شود که بیانگر تمایل بلورهای تیتانیم دی‌اکسید به رشد و توسعه در امتداد این صفحه مشخص بلوری است. شدت بالای این قله نشان‌دهنده بلوری بودن بالای نمونه و خلوص فاز آناتاز است. در نمونه چندسازهای T-5%  $\text{ZnO}$  نیز فاز آناتاز تیتانیم دی‌اکسید به عنوان فاز غالب در نمونه مشاهده می‌شود. به نظر می‌رسد درصد حجمی کم روی اکسید و پراکندگی نانوذره‌های روی اکسید در سطح تیتانیم دی‌اکسید عامل اصلی رویت نشدن قله مربوط باشد. نتیجه‌های مشابه نیز گزارش شده است [۱۲ و ۱۳]. همچنین، با توجه به تغییرهای مشاهده شده در ویژگی نوری نمونه‌ها، به‌ویژه کاهش کاف انرژی، می‌توان نتیجه‌گیری کرد که روی اکسید در ساختار نمونه‌ها وجود دارد.

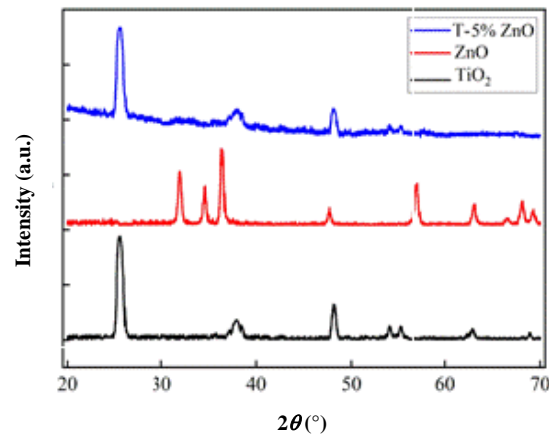
برای بررسی ساختار سطحی و ویژگی‌های میکروسکوپی نمونه‌ها تصاویر میکروسکوپ الکترونی روبشی (SEM) آن‌ها تهیه شد. شکل ۴ تصویرهای SEM نمونه‌های سنتزشده را برای بررسی ریخت‌شناسی سطح لایه‌های نازک، نشان می‌دهد.



شکل ۴ تصویرهای میکروسکوپ الکترونی روبشی نمونه‌های سنتزشده

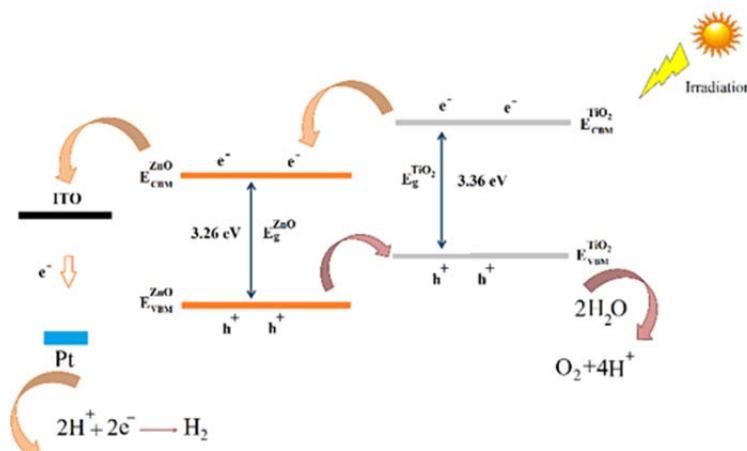
در کاربردهای الکتروشیمیایی، برهمنش لایه با الکتروولیت در سطح نمونه‌ها انجام می‌شود. بنابراین، تصویرهای سطح نمونه‌ها اهمیت بیشتری نسبت به تصویرهای مقطعی دارند. در تصویرهای به دست آمده مشاهده می‌شود که نمونه‌ها ریزساختار همگن با دانه‌های کروی به نسبت متراکم دارند. با این حال، فضاهای خالی بین دانه‌ها نیز وجود دارد که امری اجتناب‌ناپذیر است. در این پژوهش، همه شرایط مانند زمان پیرسازی و دمای بازیخت برای نمونه‌ها به طور یکسان در نظر گرفته شد و تأثیر درصد حجمی روی اکسید بر ریزساختارهای فیلم به‌طور دقیق بررسی شد. برایه مشاهده‌ها، مشخص است که همه نمونه‌ها ریزساختار همگن و یکدستی دارند. افزودن روی اکسید موجب

افزایش طول عمر موثر آن‌ها می‌شود و کارایی الکتروشیمیایی این نانو چندسازه را بهبود می‌بخشد. به نظر می‌رسد افزایش بیشتر روی اکسید از یک مقدار بهینه به نحوی موجب تغییر در سد پتانسیل ایجاد شده در مرز p-n می‌شود که طول عمر موثر الکترون-حفره باز هم کاهش می‌یابد. به این معنی که افزایش بیشتر روی اکسید (به بیشتر از ۵ درصد حجمی) موجب افزایش ضخامت این لایه در بین دانه‌های تیتانیم دی‌اکسید می‌شود. در نتیجه، الکترون‌های رسیده به ناحیه روی اکسید با مقاومت الکتریکی بالاتری مواجه می‌شوند و تعداد الکترون‌های رسیده به ITO کاهش می‌یابد. این روند، به کاهش ویژگی بهینه نانوچندسازه مانند چگالی جریان پایدار و در نتیجه، کاهش بازده سامانه منجر می‌شود. گزارش‌هایی در مورد استفاده از مواد افروزنده متفاوت برای بهبود ویژگی‌های الکتروشیمیایی تیتانیم دی‌اکسید وجود دارد. مقایسه نتیجه‌های به دست آمده از این کار تجربی با گزارش‌های پیشین نشان می‌دهد که این نمونه چندسازه‌ای توانایی رقابت با نمونه‌های موفق دیگر را دارد (جدول ۳).



شکل ۵ الگوهای پراش پرتو ایکس (XRD) تیتانیم دی‌اکسید خالص، روی اکسید خالص و نمونه T-5%ZnO

به طور خلاصه می‌توان گفت که افزودن مقداری روی اکسید به ساختار  $\text{TiO}_2$ ، موجب تشکیل پیوند p-n در ساختار ماده شده و منجر به جداسازی بهینه الکترون-حفره‌های تولید شده در اثر تابش نور می‌شود. شکل ۶ طرح واره این پدیده را نشان می‌دهد. جداسازی موثر الکترون‌ها و حفره‌ها موجب



شکل ۶ طرح کلی انتقال حامل‌های بار بین تیتانیم دی‌اکسید و روی اکسید برای تفسیر فرایند آب‌شکافی با سلول فتوالکتروشیمیایی

جدول ۳ مقایسه فتوجریان نمونه چندسازه‌ای بهینه تیتانیم دی‌اکسید/روی اکسید (T-5% ZnO) با کارهای تجربی گزارش شده

مرجع	فوتوجریان	نوع الکترولیت	نورتابشی	روش سنتز	فوتو الکترود
[۹]	۰/۴ A/m <sup>2</sup>	۱ M H <sub>2</sub> SO <sub>4</sub> /۱ M KOH	لامپ زنون	سل ژل	TiO <sub>2</sub> :Au
[۱۴]	۰/۳۵ mA/cm <sup>2</sup>	۰/۲۵ M Na <sub>2</sub> SO <sub>4</sub>	لامپ زنون	ترکیب لیتوگرافی (NIL) و فرایندهای حکاکی واکنشی (RIE)	TiO <sub>2</sub> /Si
[۱۵]	۰/۶ mA/cm <sup>2</sup>	۱/۰ M Na <sub>2</sub> SO <sub>3</sub>	----	اکسایش آندی کنترل شده فویل‌های Ti	TiO <sub>2</sub> /CuO
[۱۶]	۱۰ μA/cm <sup>2</sup>	۰/۵ M NaSO <sub>4</sub>	لامپ زنون	پراکنده کردن پودر TiO <sub>2</sub> در اتانول	TiO <sub>2</sub> /rGO/Pt
[۱۷]	۰/۱ mA/cm <sup>2</sup>	۰/۵ M H <sub>2</sub> SO <sub>4</sub>	لامپ زنون	آب‌گرمایی	TiO <sub>2</sub> /Sr
[۱۸]	۱/۸ mA/cm <sup>2</sup>	۱ M Na <sub>2</sub> SO <sub>3</sub>	لامپ زنون	آب‌گرمایی	TiO <sub>2</sub> /BiVO <sub>4</sub>
کار حاضر	۱/۱ mA/cm <sup>2</sup>	۰/۵ M NaSO <sub>4</sub>	لامپ هالوژن	سل ژل	TiO <sub>2</sub> /ZnO

### نتیجه‌گیری

بازترکیب الکترون-حفره و کارایی مناسب فتوالکتروشیمیایی، در کار سنتز آسان و کم هزینه، بهینه‌ترین شرایط را برای فرایند آب‌شکافی فراهم کرد.

بی‌شک، روش این مقاله بهمنظور به کارگیری انرژی خورشیدی برای تولید هیدروژن، می‌تواند به کاهش وابستگی به سوخت‌های فسیلی منجر شود. هیدروژن تولید شده به عنوان سوخت برای خودروهای هیدروژنی و کمک به کاهش آلودگی هوا و بهبود کیفیت هوا، کاربرد خواهد داشت. همچنین، بهبود کارایی فتوکاتالیست‌ها می‌تواند منجر به توسعه فناوری‌های جدید مانند پیلهای PEC واقعی و نیز بهینه‌سازی فرایندهای صنعتی شود.

در این پژوهش، چندسازه‌های تیتانیم دی‌اکسید/روی اکسید با روش سل-ژل سنتز شدن و رفتار فتوالکتروشیمیایی لایه‌های نازک آن‌ها به عنوان تابعی از درصد حجمی روی اکسید مطالعه شد. نتیجه‌ها نشان داد که افزودن روی اکسید به تیتانیم دی‌اکسید به طور کلی ویژگی موردنظر آن را بهبود می‌بخشد. همچنین، نمونه با ۵ درصد حجمی از روی اکسید کمترین مقدار کافی انرژی نوری و شدت طیف فوتولومیسنس و مقاومت در برابر انتقال بار را داشت. شدت طیف جذب فرابنفش-مرئی این نمونه و چگالی جریان نوری پایدار آن بالاترین مقدار را داشت. این نمونه مقدار کمتری از پتانسیل برق کافت را برآورده کرد و با افزایش جذب نور، کاهش

### مراجع

- [1] Nowotny J, Sorrell CC, Sheppard LR, Bak T. Solar-hydrogen: Environmentally safe fuel for the future. International journal of hydrogen energy. 2005;30(5):521-44. doi: org/10.1016/j.ijhydene.2004.06.012
- [2] Ziani A, Al-Shankiti I, Khan MA, Idriss H. Integrated photo-electrocatalytic (PEC) systems for water splitting to hydrogen and oxygen under concentrated sunlight: Effect of internal parameters on performance. Energy & Fuels. 2020;34(10):13179-85. doi: org/10.1021/acs.energyfuels.0c02481
- [3] Ge M, Li Q, Cao C, Huang J, Li S, Zhang S, Chen Z, Zhang K, Al-Deyab SS, Lai Y. نشریه پژوهش‌های کاربردی در شیمی (JARC)

- One-dimensional TiO<sub>2</sub> nanotube photocatalysts for solar water splitting. *Advanced science.* 2017;4(1):1600152. doi: org/10.1002/advs.201600152
- [4] Mora ES, Barojas EG, Rojas ER, González RS. Morphological, optical and photocatalytic properties of TiO<sub>2</sub>-Fe<sub>2</sub>O<sub>3</sub> multilayers. *Solar Energy Materials and Solar Cells.* 2007;91(15-16):1412-5. doi: org/10.1016/j.solmat.2007.05.010
- [5] Muttaqin R, Pratiwi R, Dewi EL, Ibadurrohman M. Degradation of methylene blue-ciprofloxacin and hydrogen production simultaneously using combination of electrocoagulation and photocatalytic process with Fe-TiNTAs. *International Journal of Hydrogen Energy.* 2022;47(42):18272-84. doi: org/10.1016/j.ijhydene.2022.04.031
- [6] Zhu Z, Kao CT, Tang BH, Chang WC, Wu RJ. Efficient hydrogen production by photocatalytic water-splitting using Pt-doped TiO<sub>2</sub> hollow spheres under visible light. *Ceramics International.* 2016;42(6):6749-54. doi: org/10.1016/j.ceramint.2016.01.047
- [7] Wang C, Hu QQ, Huang JQ, Deng ZH, Shi HL, Wu L, et al. Effective water splitting using N-doped TiO<sub>2</sub> films: Role of preferred orientation on hydrogen production. *International Journal of Hydrogen Energy.* 2014;39(5):1967-71. doi: org/10.1016/j.ijhydene.2013.11.097
- [8] Meziane K, El Hichou A, El Hamidi A, Mansori M, Liba A, Almagoussi A. On the sol pH and the structural, optical and electrical properties of ZnO thin films. *Superlattices and Microstructures.* 2016;93: 297-302. doi: org/10.1016/j.spmi.2016.03.041
- [9] Naseri N, Amiri M, Moshfegh AZ. Visible photoenhanced current-voltage characteristics of Au: TiO<sub>2</sub> nanocomposite thin films as photoanodes. *Journal of Physics D: Applied Physics.* 2010;43(10):105405. doi: org/10.1088/0022-3727/43/10/105405
- [10] Tian J, Chen L, Dai J, Wang X, Yin Y, Wu P. Preparation and characterization of TiO<sub>2</sub>, ZnO, and TiO<sub>2</sub>/ZnO nanofilms via sol-gel process. *Ceramics International.* 2009;35(6):2261-70. doi: org/10.1016/j.ceramint.2008.12.010
- [11] Liao DL, Badour CA, Liao BQ. Preparation of nanosized TiO<sub>2</sub>/ZnO composite catalyst and its photocatalytic activity for degradation of methyl orange. *Journal of Photochemistry and Photobiology A: Chemistry.* 2008;194(1):11-9. doi: org/10.1016/j.jphotochem.2007.07.008
- [12] Pérez-Larios A, Lopez R, Hernández-Gordillo A, Tzompantzi F, Gómez R, Torres-Guerra LM. Improved hydrogen production from water splitting using TiO<sub>2</sub>-ZnO mixed oxides photocatalysts. *Fuel.* 2012;100:139-43. doi: org/10.1016/j.fuel.2012.02.026
- [13] AbuDakka M, Qurashi A, Hari P, Alam MW. Formamide driven synthesis of well-aligned ZnO nanorod arrays on glass substrate. *Materials Science in Semiconductor Processing.* 2010;13(2):115-8. doi: org/10.1016/j.mssp.2010.05.001
- [14] Noh SY, Sun K, Choi C, Niu M, Yang M, Xu K, et al. Branched TiO<sub>2</sub>/Si nanostructures for enhanced photoelectrochemical water splitting. *Nano Energy.* 2013 May 1;2(3):351-60. doi: org/10.1016/j.nanoen.2012.10.010.
- [15] de Brito JF, Tavella F, Genovese C, Ampelli C, Zanoni MV, Centi G, et al. Role of CuO in the modification of the photocatalytic water splitting behavior of TiO<sub>2</sub> nanotube thin films. *Applied Catalysis B: Environmental.* 2018;224:136-45. doi.org/10.1016/j.apcatb.2017.09.071
- [16] Wang P, Zhan S, Xia Y, Ma S, Zhou Q, Li Y. The fundamental role and mechanism

- of reduced graphene oxide in rGO/Pt-TiO<sub>2</sub> nanocomposite for high-performance photocatalytic water splitting. *Applied Catalysis B: Environmental.* 2017;207:335-46. doi: org/10.1016/j.apcatb.2017.02.031
- [17] Fazil M, Ahmad T. Pristine TiO<sub>2</sub> and Sr-doped TiO<sub>2</sub> nanostructures for enhanced photocatalytic and electrocatalytic water splitting applications. *Catalysts.* 2023;13(1):93. doi: org/10.3390/catal13010093
- [18] Lee MG, Yang JW, Park H, Moon CW, Andoshe DM, Park J, et al. Crystal facet engineering of TiO<sub>2</sub> nanostructures for enhancing photoelectrochemical water splitting with BiVO<sub>4</sub> nanodots. *Nano-micro letters.* 2022 Dec;14(1):48. doi: org/10.1007/s40820-022-00795-8

## **Preparation and structural and photoelectrochemical properties of titanium dioxide/zinc oxide composites**

**M. Siahsahlan<sup>1</sup>, S. Mohammadi Aref<sup>2,\*</sup>, H. Naghshara<sup>2</sup>, R. Azmayesh Kondrood<sup>1</sup>**

1. PhD Student of Faculty of Physics, University of Tabriz, Tabriz, Iran.

2. Associate Prof. of Faculty of Physics, University of Tabriz, Tabriz, Iran.

**Abstract:** Four nanocomposite samples of titanium dioxide/zinc oxide with approximate volume percentages of 0, 3, 5, and 7 of zinc oxide were synthesized using the sol-gel method. The success of the syntheses was confirmed by X-ray diffraction patterns. Morphology of the prepared samples was studied by scanning electron microscope (SEM). Properties of the samples were investigated by using UV-Vis spectrometry and photoluminescence spectrometry. The obtained results indicated that adding zinc oxide to titanium dioxide significantly decreased its band gap energy and substantially improved the photoelectrochemical performance of the composites. The sample containing 5% by volume of zinc oxide exhibited the narrowest band gap energy (3.28 eV), the lowest photoluminescence spectrum intensity, and the lowest charge transfer resistance (80 kΩ). Additionally, this sample showed the highest stable current density (1.1 mA/cm<sup>2</sup>). Furthermore, the superior photoelectrochemical performance of this sample compared to the others confirmed its high efficiency.

**Keywords:** Water splitting, Photoelectrochemical properties, Solar hydrogen, Titanium dioxide/zinc oxide.

\* Corresponding author Email:  
mohammadiaref@tabrizu.ac.ir